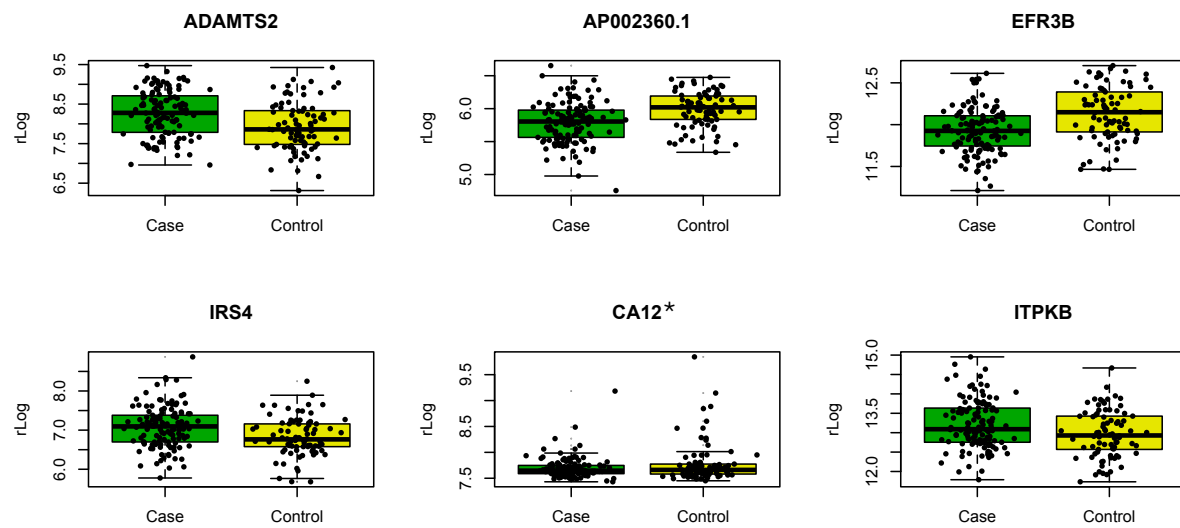


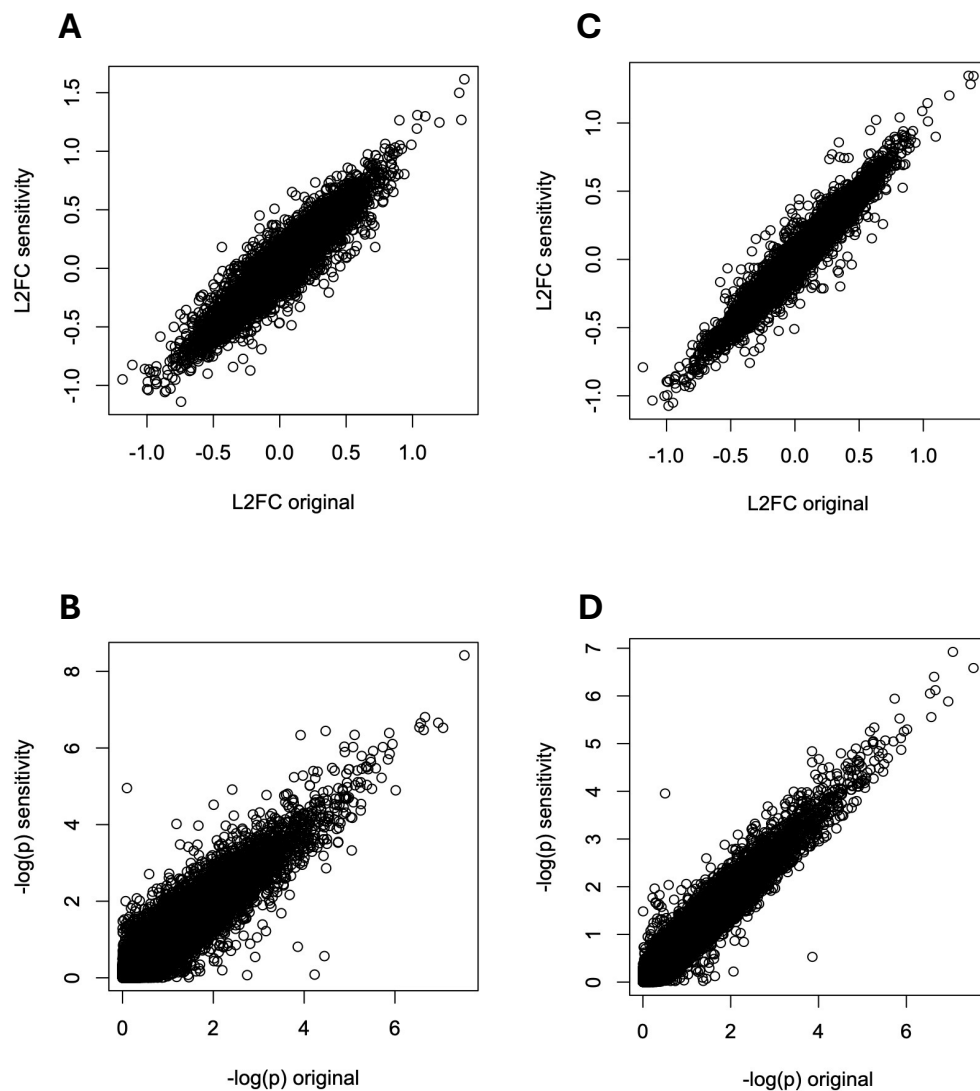
Supplementary Materials for “A gene expression study of Alzheimer’s disease in post-mortem tissue from African American donors.” by M.W. Logue et al.

Supplementary Figure 1: Boxplot of the 6 most significant differentially expressed genes.



* Excludes an outlier with high expression in controls to preserve detail.

Supplementary Figure 2: Correlation of effect sizes from the sensitivity analyses for adjustment for PMI, and B) the exclusion of young (age <60) donors from the analyses. The effect sizes - \log_{10} P-values were highly correlated for the PMI sensitivity analysis (A and B) and for the age sensitivity analysis (C and D). The correlations were all very high for the effect sizes and \log_{10} P-values ($r>0.90$).



Supplementary Table 1: SEE ATTACHMENT. Table of the 482 transcriptome-wide significant associations between gene expression and AD case status.

Supplementary Table 2: Results of sensitivity analyses examining the impact of PMI and excluding controls with age at death < 60 for the top 20 differentially expressed genes.

Gene	PMI Sensitivity Analysis			Age Sensitivity Analysis		
	L2FC	P	Padj	L2FC	P	Padj
ADAMTS2	0.65	3.81E-09	0.00013	0.56	2.60E-07	0.0044
AP002360.1	-0.37	2.98E-07	0.0014	-0.36	1.19E-07	0.0040
EFR3B	-0.26	2.20E-07	0.0014	-0.24	1.31E-06	0.0063
IRS4	0.51	1.57E-07	0.0014	0.46	7.57E-07	0.0060
CA12	-0.83	3.40E-07	0.0014	-0.79	3.96E-07	0.0044
ITPKB	0.34	2.25E-07	0.0014	0.29	2.78E-06	0.011
PDE10A	-0.50	2.89E-07	0.0014	-0.46	8.91E-07	0.0060
TDRKH	-0.16	1.27E-05	0.0079	-0.16	5.02E-06	0.014
LINC01182	-0.71	7.89E-07	0.0021	-0.63	5.57E-06	0.014
TFCP2	-0.17	1.43E-06	0.0027	-0.15	1.35E-05	0.019
AL158071.3	0.58	4.07E-07	0.0014	0.49	7.68E-06	0.017
EHHADH	-0.32	1.99E-06	0.0032	-0.30	2.98E-06	0.011
PIEZ02	0.45	9.49E-07	0.0021	0.42	1.14E-06	0.0063
P2RY1	-0.44	6.02E-06	0.0053	-0.41	9.00E-06	0.017
AC018647.2	-0.26	3.39E-06	0.0040	-0.23	2.02E-05	0.021
NOX4	-0.45	1.20E-06	0.0025	-0.41	8.57E-06	0.017
ECHS1	-0.17	1.17E-05	0.0077	-0.16	2.67E-05	0.022
ZCCHC14	0.15	2.32E-06	0.0035	0.12	3.88E-05	0.025
LINC01094	0.46	1.92E-06	0.0032	0.40	1.59E-05	0.019
AP001180.1	1.50	3.58E-06	0.0040	1.35	1.06E-05	0.017

Supplementary Table 3: Tests for differential gene expression of genome-wide significant loci from AD GWAS in EA (Bellenguez et al. 2022) and AA (Sherva et al. 2023) cohorts, and other genes implicated in prior AA GWAS or candidate gene association studies (Logue et al. 2023). False discovery rate multiple testing corrections performed sequentially within each category.

EA AD GWAS								AA AD GWAS			
Gene	L2FC	P	p _{adj}	Gene	L2FC	P	p _{adj}	Gene	L2FC	P	p _{adj}
WNT3	0.16	0.052	0.0017	DOC2A	0.048	0.068	0.48	KIF17	-0.17	0.021	0.17
ICA1	-0.17	0.068	0.010	IL34	0.061	0.091	0.50	SH2D5	-0.16	0.035	0.17
PLEKHA1	0.11	0.041	0.010	ADAMTS1	0.072	0.11	0.51	DCBLD1	-0.093	0.043	0.17
FERMT2	-0.11	0.045	0.011	BIN1	-0.029	0.045	0.52	POLR2E	-0.086	0.052	0.17
APOE	-0.20	0.079	0.012	CR1	0.086	0.14	0.53	NUS1	0.060	0.16	0.42
SORL1	-0.10	0.042	0.014	SIGLEC11	0.095	0.16	0.54	EIF4G3	-0.028	0.27	0.53
PRDM7	0.55	0.232	0.017	FOXF1	-0.061	0.10	0.55	TREML1	-0.15	0.29	0.53
SNX1	-0.069	0.029	0.017	SLC24A4	0.037	0.061	0.55	GOPC	-0.038	0.33	0.54
SLC2A4RG	-0.15	0.063	0.019	RHOH	0.11	0.19	0.55	ARHGAP45	0.035	0.63	0.91
CLNK	0.68	0.30	0.022	JAZF1	-0.024	0.040	0.56	TMCO4	-0.017	0.82	0.97
HS3ST5	-0.14	0.068	0.036	CD2AP	0.022	0.039	0.57	CDA	-0.029	0.85	0.97
COX7C	-0.10	0.052	0.047	WDR81	-0.029	0.052	0.57	CNN2	-0.009	0.93	0.97
TSPOAP1	-0.11	0.054	0.050	TMEM106B	-0.030	0.054	0.58	ROS1	0.005	0.97	0.97
TPCN1	-0.11	0.059	0.066	GRN	-0.034	0.061	0.58	ANTXR2	0.13	0.021	0.24
CTSB	-0.066	0.036	0.067	CASS4	0.055	0.11	0.60	GRIN3B	-0.34	0.078	0.32
BCKDK	-0.083	0.046	0.069	LILRB2	-0.076	0.15	0.61	EML6	-0.069	0.087	0.32
TREM2	0.21	0.12	0.074	CLU	0.023	0.044	0.61	EFHB	-0.27	0.18	0.47
SORT1	0.064	0.036	0.075	SPI1	-0.038	0.075	0.61	TRPS1	-0.042	0.21	0.47
RBCK1	-0.089	0.051	0.080	EPDR1	-0.033	0.067	0.63	FHOD3	0.037	0.35	0.65
TSPAN14	0.079	0.046	0.08	ABCA7	0.038	0.080	0.63	ROBO1	-0.026	0.46	0.68
MS4A4A	0.20	0.14	0.14	ACE	-0.040	0.086	0.64	AL355353.1	-0.27	0.49	0.68
MAF	0.089	0.062	0.15	HLA-DQA1	0.075	0.19	0.69	ITGA11	0.022	0.75	0.90
SPDYE3	0.091	0.065	0.16	ABI3	0.036	0.093	0.70	KCNH8	-0.019	0.83	0.90
PRKD3	0.043	0.031	0.18	KLF16	0.024	0.063	0.70	EGFLAM	-0.020	0.90	0.90
APH1B	-0.055	0.041	0.18	PLCG2	0.024	0.067	0.72				
BLNK	-0.11	0.086	0.19	EED	-0.011	0.036	0.75				

								Other AA AD Genetics Studies			
ABCA1	0.083	0.063	0.19	TREML2	-0.072	0.23	0.76	IGF1R	0.11	0.0013	0.019
INPP5D	0.082	0.072	0.25	MINDY2	-0.013	0.041	0.76	COBL	0.079	0.083	0.31
RASGEF1C	-0.092	0.080	0.25	SPPL2A	0.013	0.043	0.76	AKAP9	0.070	0.083	0.31
PTK2B	-0.058	0.051	0.26	TNIP1	0.011	0.038	0.77	PON2	-0.075	0.11	0.31
SEC61G	-0.059	0.056	0.29	SHARPIN	-0.014	0.054	0.79	NOS3	-0.17	0.11	0.31
APP	-0.030	0.031	0.34	CTSH	0.013	0.055	0.81	PSEN1	-0.044	0.12	0.31
UNC5CL	-0.093	0.10	0.35	EPHA1	0.026	0.15	0.86	PSEN2	-0.056	0.18	0.34
MYO15A	0.067	0.071	0.35	ADAM17	-0.0053	0.031	0.87	PICALM	-0.052	0.18	0.34
ANKH	0.023	0.027	0.40	SCIMP	-0.0073	0.062	0.91	SORCS1	-0.072	0.25	0.41
NCK2	0.031	0.038	0.41	IDUA	-0.0058	0.069	0.93	SYNPR	0.068	0.54	0.80
ANK3	-0.022	0.028	0.44	MME	-0.026	0.43	0.95	SELP	0.091	0.65	0.81
USP6NL	-0.027	0.036	0.45	WDR12	-	0.00040	0.036	ARRDC4	-0.040	0.69	0.81
UMAD1	-0.032	0.043	0.46					F5	-0.039	0.71	0.81
								TTR	-0.094	0.90	0.94
								DIO2	-0.24	0.94	0.94

Supplementary Table 4: GOseq analysis of the differentially expressed genes and of the members of the WGCNA networks. Members of the GO category or network that are differentially expressed at the $p < 0.05$ level are labeled + and - to indicate the direction of effect, while ++ and -- indicate that the gene is associated at the transcriptome-wide ($p_{adj} < 0.05$) level. The top 10 enriched categories are listed for gene sets with significant enrichments. For gene categories with no corrected significant GO terms, the top 5 GO terms are listed.

network	ontology	category	term	Num DE in category	Num in category	p	padj	genes
DE Genes	BP	GO:0055114	oxidation-reduction process	55	927	6.38E-11	3.07E-07	ABCD2--,ACAA2--,ADHFE1--,ADIPOR1--,ALDH7A1--,ALDH9A1--,BCKDHB--,BPGM--,CCS--,COX15--,COX4I1--,COX6B1--,CPT2--,CYP2J2--,DDO--,DECRI--,DHFR2--,ECHS1--,EGLN3--,EHHADH--,ETFA--,ETFB--,F8--,FAXDC2--,FDX2--,GLUD1--,HADHA--,HSD11B2++,HSD17B7++,IDH2--,IRS2++,MSRB1--,NDUFA1--,NDUFA2--,NDUFA3--,NDUFA6--,NDUFA7--,NDUFB1--,NDUFB2--,NDUFB3--,NDUFB8--,NDUFS3--,NDUFS5--,NOX4--,PANK2++,PFKP++,PLA2G7--,PRDX2--,PRDX5--,STEAP3++,STEAP4++,TM7SF2--,TXN2--,TXNDC12--,UQCRC2--
	BP	GO:0044281	small molecule metabolic process	86	1945	7.72E-11	3.07E-07	ABCC2++,ABCD2--,ACAA2--,ADA2--,ADAL--,ADHFE1--,ADIPOR1--,AGPAT1--,AIG1--,ALDH7A1--,ARV1--,ATP5F1B--,ATP5F1C--,ATP5MF--,ATP5MG--,ATP5PB--,BCKDHB--,BPGM--,CD244--,CHST6++,COQ5--,COX15--,COX4I1--,COX6B1--,CPT2--,CYP2J2--,DDO--,DECRI--,DHFR2--,ECHS1--,EGLN3--,EHHADH--,ENOPH1--,ERG28--,ETFA--,ETFB--,FDX2--,GLUD1--,HADHA--,HDAC4++,HDDC3--,HKDC1--,HSD17B7++,IDH2--,IRS2++,ITPKB++,LARS2--,LCLAT1--,MCCC2--,MPC1--,NDST3--,NDUFA1--,NDUFA2--,NDUFA3--,NDUFA6--,NDUFA7--,NDUFB1--,NDUFB2--,NDUFB3--,NDUFB8--,NDUFS3--,NDUFS5--,NFS1--,NOX4--,NUDT7--,P2RY1--,PANK2++,PDE10A--,PDE7B--,PDZD11--,PFKP++,PLCE1++,PPT1--,PRKAG1--,PRTFDC1--,PSMC3--,PSME3--,RIDA--,SDSL--,SEC13--,SLC7A2++,SRR--,TM7SF2--,TXN2--,UQCRC2--,VCAN++
	MF	GO:0016491	oxidoreductase activity	45	686	8.61E-10	2.28E-06	ADHFE1--,ALDH7A1--,ALDH9A1--,BCKDHB--,CCS--,COX15--,COX4I1--,COX6B1--,CYP2J2--,DDO--,DECRI--,DHFR2--,EGLN3--,EHHADH--,ETFA--,ETFB--,F8--,FAXDC2--,FDX2--,GLUD1--,HADHA--,HBA1--,HSD11B2++,HSD17B7++,IDH2--,MSRB1--,NDUFA1--,NDUFA2--,NDUFA3--,NDUFA6--,NDUFA7--,NDUFB1--,NDUFB2--,NDUFB3--,NDUFB8--,NDUFS3--,NDUFS5--,NOX4--,PRDX2--,PRDX5--,STEAP3++,STEAP4++,TM7SF2--,TXN2--,TXNDC12--
	BP	GO:0072521	purine-containing compound metabolic process	39	565	1.64E-09	3.26E-06	ADA2--,ADAL--,ATP5F1B--,ATP5F1C--,ATP5MF--,ATP5MG--,ATP5PB--,BPGM--,COX15--,COX4I1--,COX6B1--,ENOPH1--,HDAC4++,HDDC3--,HKDC1--,MCCC2--,MPC1--,NDUFA1--,NDUFA2--,NDUFA3--,NDUFA6--,NDUFA7--,NDUFB1--,NDUFB2--,NDUFB3--,NDUFB8--,NDUFS3--,NDUFS5--,NFS1--,NUDT7--,PANK2++,PDE10A--,PDE7B--,PFKP++,PPT1--,PRKAG1--,PRTFDC1--,SEC13--,UQCRC2--
	BP	GO:0006119	oxidative phosphorylation	20	128	3.15E-09	5.01E-06	ATP5F1B--,ATP5F1C--,ATP5MF--,ATP5MG--,ATP5PB--,COX15--,COX4I1--,COX6B1--,NDUFA1--,NDUFA2--,NDUFA3--,NDUFA6--,NDUFA7--,NDUFB1--,NDUFB2--,NDUFB3--,NDUFB8--,NDUFS3--,NDUFS5--,UQCRC2--
	BP	GO:0006091	generation of precursor metabolites and energy	35	485	4.68E-09	6.19E-06	ATP5F1B--,ATP5F1C--,ATP5MF--,ATP5MG--,ATP5PB--,BPGM--,COX15--,COX4I1--,COX6B1--,ETFA--,ETFB--,FDX2--,HDAC4++,HKDC1--,IDH2--,IRS2++,NDUFA1--,NDUFA2--,NDUFA3--,NDUFA6--,NDUFA7--,NDUFB1--,NDUFB2--,NDUFB3--,NDUFB8--,NDUFS3--,NDUFS5--,NOX4--,PANK2++,PFKP++,PRKAG1--,SEC13--,STEAP4++,UQCRC2--,VGF--
	BP	GO:0017144	drug metabolic process	45	771	9.53E-09	1.08E-05	ABCC2++,ADA2--,ADAL--,ATP5F1B--,ATP5F1C--,ATP5MF--,ATP5MG--,ATP5PB--,BPGM--,COX15--,COX4I1--,COX6B1--,CYP2J2--,DHFR2--,ENOPH1--,HBA1--,HDAC4++,HKDC1--,IDH2--,MCCC2--,NDUFA1--,NDUFA2--,NDUFA3--,NDUFA6--,NDUFA7--,NDUFB1--,NDUFB2--,NDUFB3--,NDUFB8--,NDUFS3--,NDUFS5--,PDZD11--

							,PFKP++,PLA2G7--,PRDX2--,PRDX5--,PRKAG1--,RIDA--,SDSL--,SEC13--,SLC7A2++,SRR--,TGFB2++,UQCRC2--,VCAN++	
BP	GO:0046034	ATP metabolic process	26	282	1.43E-08	1.36E-05	ATP5F1B--,ATP5F1C--,ATP5MF--,ATP5MG--,ATP5PB--,BPGM--,COX15--,COX4I1--,COX6B1--,HDAC4++,HKDC1--,NDUFA1--,NDUFA2--,NDUFA3--,NDUFA6--,NDUFA7--,NDUFB1--,NDUFB2--,NDUFB3--,NDUFB8--,NDUFS3--,NDUFS5--,PFKP++,PRKAG1--,SEC13--,UQCRC2--	
	GO:0009150	purine ribonucleotide metabolic process	35	506	1.54E-08	1.36E-05	ATP5F1B--,ATP5F1C--,ATP5MF--,ATP5MG--,ATP5PB--,BPGM--,COX15--,COX4I1--,COX6B1--,HDAC4++,HDDC3--,HKDC1--,MCCC2--,MPC1--,NDUFA1--,NDUFA2--,NDUFA3--,NDUFA6--,NDUFA7--,NDUFB1--,NDUFB2--,NDUFB3--,NDUFB8--,NDUFS3--,NDUFS5--,NFS1--,NUDT7--,PANK2++,PDE10A--,PDE7B--,PFKP++,PPT1--,PRKAG1--,SEC13--,UQCRC2--	
	GO:0009205	purine ribonucleoside triphosphate metabolic process	27	311	2.62E-08	1.99E-05	ATP5F1B--,ATP5F1C--,ATP5MF--,ATP5MG--,ATP5PB--,BPGM--,COX15--,COX4I1--,COX6B1--,HDAC4++,HKDC1--,NDUFA1--,NDUFA2--,NDUFA3--,NDUFA6--,NDUFA7--,NDUFB1--,NDUFB2--,NDUFB3--,NDUFB8--,NDUFS3--,NDUFS5--,NFS1--,PFKP++,PRKAG1--,SEC13--,UQCRC2--	
blue	MF	GO:0003676	nucleic acid binding	800	3378	9.33E-39	6.85E-35	AHCTF1+,AIMP1-,ATF6-,ATR-,ATRX+,BLM+,BLZF1-,CAPRIN1-,CDK13+,CHD1+,CLNS1A-,CLOCK+,CPSF3-,CREBRF+,CRLF3+,DCAF13-,DDX50-,DEK+,DNAJC2+,EIF2A-,EIF2B1-,EIF2S1-,EIF2S3-,EIF3M-,EIF4E-,EPRS1-,ERH-,ETV1-,FASTKD3-,FIP1L1-,FOXO3+,G3BP1+,GD12-,GFM1-,GNL2-,GTF2B-,GTF2H5-,H4C3-,HMGN1-,LCOR++,LCORL+,LIG4-,LIN9+,LSM3-,MAGOH-,MAK16-,MBD2+,MEIS2-,MFAP1-,MIER3+,MLF1-,MORC3+,MRPL13-,MRPS18C-,MRPS28-,MRPS35-,MRPS9--,NFAT5+,NFE2L3+,NUDT4+,NUP42-,ORC3-,OTUD4+,PA2G4-,PDIA3-,PIN4-,POLI-,POLR2K--,POU5F2+,PRKDC-,PRMT3-,PRPF38B+,PRPF40A+,PRPF4B+,PURB+,PUS7+,RBBP6+,RBM48+,RBMLX1-,RC3H2+,REL+,RORA+,RPF1-,SAP18-,SETDB2+,SF3B6-,SIRT1+,SLIRP-,SMAD4+,SMARCA1++,SNRPD1-,SNRPE-,SNW1-,SREK1+,SRP19+,SRP54-,SRP9-,SRF10+,SUCLG1-,SUPT3H-,TBCA-,TDRD3-,TENT4B+,THOC2+,THOC7-,TIPIN-,TOPORS+,TSN-,TUT4+,WDHD1--,YWHAE-,YY1+,ZBTB1+,ZBTB44+,ZC3H13-,ZCCHC7-,ZCCHC8+,ZCCHC9-,ZFC3H1+,ZFP3-,ZMYM4-,ZNF141+,ZNF264+,ZNF280C-,ZNF292++,ZNF345+,ZNF383+,ZNF431+,ZNF441-,ZNF442-,ZNF484+,ZNF502-,ZNF546+,ZNF585A-,ZNF627--,ZNF639+,ZNF737-,ZRANB3-
blue	BP	GO:0090304	nucleic acid metabolic process	936	4319	2.66E-30	9.76E-27	ADAT2-,AHCTF1+,AIMP1-,ANKRD31-,ARMCX3-,ASF1A-,ATF6-,ATR-,ATRX+,BLM+,BLZF1-,BM1+,BMT2+,BRWD1+,CBX5+,CDK13+,CETN2-,CHD1+,CHURC1--,CLNS1A-,CLOCK+,CNOT10--,CPSF3-,CREBRF+,CREG1-,CRLF3+,CTH-,DCAF13-,DEK+,DNAJC2+,DUS4L-,ECD-,EGLN1+,EIF2A-,ELOC-,EPC1+,EPC2++,EPRS1-,ETV1-,FANCF-,FASTKD3-,FIP1L1-,FOXO3+,G3BP1+,GALR1-,GEMIN2-,GTF2A2-,GTF2B-,GTF2E1-,GTF2H3-,GTF2H5-,H4C3-,HIGD1A-,HMGN1-,IK-,INO80D+,INTS6+,JAK2+,LCOR++,LCORL+,LIG4-,LIN9+,LSM3-,MAGOH-,MAP3K2+,MBD2+,MED4-,MEIS2-,METTL15-,MFAP1-,MIER3+,MLF1-,MRPS9--,NAA16++,NBDY-,NCOA4-,NFAT5+,NFE2L3+,ORC3-,OTUD4+,PA2G4-,PHF3+,PLRG1-,POLI-,POLR2K--,POU5F2+,PPP4R2+,PRDX3-,PRKDC-,PRMT3-,PRMT6-,PRPF38B+,PRPF40A+,PRPF4B+,PSMD10-,PSMD14-,PURB+,PUS7+,QTRT2-,RAC1-,RBBP6+,RBMLX1-,RC3H2+,REL+,RESF1+,RHOQ+,RIOK1-,RNF14-,RNF168+,RORA+,RPF1-,SAP18-,SCARNA7+,SETD6+,SETDB2+,SF3B6-,SIRT1+,SLIRP-,SMAD4+,SMARCA1++,SMC5+,SNRPD1-,SNRPE-,SNW1-,SREK1+,SRF10+,SUPT3H-,TATDN1-,TATDN3-,TDRD3-,TENT2-,TENT4B+,THOC2+,THOC7-,TIPIN-,TOPORS+,TRIP12-,TSN-,TTC21B+,TUT4+,UFL1-,WDHD1--,XRCC4-,YY1+,ZBTB1+,ZBTB44+,ZC3H12C+,ZC3H13-,ZCCHC8+,ZFC3H1+,ZFP3-,ZMYM4-,ZNF141+,ZNF264+,ZNF280C-,ZNF292++,ZNF345+,ZNF383+,ZNF431+,ZNF441-,ZNF442-,ZNF484+,ZNF502-,ZNF546+,ZNF585A-,ZNF627--,ZNF639+,ZNF737-,ZRANB3-
blue	MF	GO:0003723	RNA binding	406	1537	2.55E-29	6.25E-26	AIMP1-,CAPRIN1-,CDK13+,CLNS1A-,CPSF3-,DCAF13-,DDX50-,DEK+,DNAJC2+,EIF2A-,EIF2B1-,EIF2S1-,EIF2S3-,EIF3M-,EIF4E-,EPRS1-,ERH-,FASTKD3-,FIP1L1-,G3BP1+,GDI2-,GFM1-,GNL2-,H4C3-,LSM3-,MAGOH-,MAK16-,MBD2+,MFAP1-,MORC3+,MRPL13-,MRPS18C-,MRPS28-,MRPS35-,MRPS9--,NUDT4+,NUP42-,OTUD4+,PA2G4-,PDIA3-

								,PIN4-,PRKDC- ,PRPF38B+,PRPF40A+,PRPF4B+,PURB+,PUS7+,RBBP6+,RBM48+,RBMLX1- ,RC3H2+,RPF1-,SAP18-,SF3B6-,SLRP-,SNRPD1-,SNRPE-,SNW1- ,SREK1+,SRP19+,SRP54-,SRP9-,SRSF10+,SUCLG1-,TBCA-,TDRD3- ,TENT4B+,THOC2+,THOC7-,TSN-,TUT4+,YWHAE-,YY1+,ZC3H13-,ZCCHC7- ,ZCCHC8+,ZCCHC9-,ZFC3H1+
blue	BP	GO:0034641	cellular nitrogen compound metabolic process	1117	5456	1.75E-28	3.21E-25	ADAL--,ADAT2-,AFG1L-,AHCTF1+,AIMP1-,ANKRD31-,ARMCX3-,ASF1A-,ATF6-,ATIC- ,ATP5MG--,,ATP5PB--,ATR-,ATRX+,BLM+,BLZF1-,BIM1+,BMT2+,BPNT1- ,BRWD1+,CAPRIN1-,CBX5+,CDK13+,CETN2-,CHD1+,CHURC1--,CLNS1A-,CLOCK+,CLPX- ,CN0T10--,CPSF3-,CREBRF+,CREG1-,CRLF3+,CTH-,DCAF13-,DDAH1- ,DEK+,DNAJC2+,DUS4L-,ECD-,EGLN1+,EIF2A-,EIF2B1-,EIF2S1-,EIF2S3-,EIF3M-,EIF4E- ,ELOC-,EPC1+,EPC2++,EPRS1-,ERH-,ETV1-,FANCF-,FASTKD3-,FIP1L1- ,FOXO3+,G3BP1+,GALR1-,GART-,GEMIN2-,GFM1-,GLO1-,GNPNAT1+,GPD2-,GTF2A2- ,GTF2B-,GTF2E1-,GTF2H3-,GTF2H5-,H4C3-,HIGD1A-,HMGN1-,HSD17B12-,IK- ,INO80D+,INTS6+,ITGB8+,JAK2+,LCOR++,LCORL+,LIAS-,LIG4-,LIN9+,LRRK2-,LSM3- ,MAGOH-,MAP3K2+,MBD2+,ME1-,ME2-,MED4-,MEIS2-,METTL15-,MFAP1- ,MIER3+,MLF1-,MPC1--,MRPL13-,MRPL47-,MRPL51-,MRPS18C-,MRPS28-,MRPS35- ,MRPS9--,NAA16++,NBDY-,NCOA4-,NDUFA12-,NDUFC1-,NDUFS4- ,NFAT5+,NFE2L3+,NIPSNAP2-,NUDT12-,NUDT4+,NUP42-,NUP54-,ORC3- ,OTUD4+,PA2G4-,PDHB-,PDHX-,PHF3+,PLRG1-,POLI-,POLR2K-- ,POU5F2+,PPP4R2+,PRDX3-,PRKDC-,PRMT3-,PRMT6- ,PRPF38B+,PRPF40A+,PRPF4B+,PSMD10-,PSMD14-,PURB+,PUS7+,QTRT2-,RAC1- ,RBBP6+,RBMLX1-,RC3H2+,REL+,RESF1+,RHOQ+,RIOK1-,RNF14- ,RNF168+,RORA+,RPF1-,SAP18-,SCARNA7+,SDHD-,SETD6+,SETDB2+,SF3B6- ,SIRT1+,SLC35A3+,SLRP-,SMAD4+,SMARCA1++,SMC5+,SNRPD1-,SNRPE-,SNW1- ,SPCS2-,SREK1+,SRP9-,SRSF10+,SUCLG1-,SUPT3H-,TATDN1-,TATDN3-,TDRD3-,TENT2- ,TENT4B+,THOC2+,THOC7-,TIPIN-,TMA7-,TOPORS+,TRIP12-,TSN- ,TTC21B+,TUT4+,UFL1-,WDHD1--,XRCC4-,YY1+,ZBTB1+,ZBTB44+,ZC3H12C+,ZC3H13- ,ZCCHC8+,ZFC3H1+,ZFP3-,ZMYM4-,ZNF141+,ZNF264+,ZNF280C- ,ZNF292++,ZNF345+,ZNF383+,ZNF431+,ZNF441-,ZNF442-,ZNF484+,ZNF502- ,ZNF546+,ZNF585A-,ZNF627--,ZNF639+,ZNF737-,ZRANB3-
blue	BP	GO:0006139	nucleobase-containing compound metabolic process	1011	4885	6.93E-26	1.02E-22	ADAL--,ADAT2-,AFG1L-,AHCTF1+,AIMP1-,ANKRD31-,ARMCX3-,ASF1A-,ATF6-,ATIC- ,ATP5MG--,,ATP5PB--,ATR-,ATRX+,BLM+,BLZF1-,BIM1+,BMT2+,BPNT1- ,BRWD1+,CBX5+,CDK13+,CETN2-,CHD1+,CHURC1--,CLNS1A-,CLOCK+,CLPX-,CN0T10-- ,CPSF3-,CREBRF+,CREG1-,CRLF3+,CTH-,DCAF13-,DEK+,DNAJC2+,DUS4L-,ECD- ,EGLN1+,EIF2A-,ELOC-,EPC1+,EPC2++,EPRS1-,ERH-,ETV1-,FANCF-,FASTKD3-,FIP1L1- ,FOXO3+,G3BP1+,GALR1-,GART-,GEMIN2-,GFM1-,GLO1-,GNPNAT1+,GPD2-,GTF2A2- ,GTF2B-,GTF2E1-,GTF2H3-,GTF2H5-,H4C3-,HIGD1A-,HMGN1-,HSD17B12-,IK- ,INO80D+,INTS6+,JAK2+,LCOR++,LCORL+,LIG4-,LIN9+,LRRK2-,LSM3-,MAGOH- ,MAP3K2+,MBD2+,ME1-,ME2-,MED4-,MEIS2-,METTL15-,MFAP1-,MIER3+,MLF1- ,MPC1--,MRPS9--,NAA16++,NBDY-,NCOA4-,NDUFA12-,NDUFC1-,NDUFS4- ,NFAT5+,NFE2L3+,NIPSNAP2-,NUDT12-,NUDT4+,NUP42-,NUP54-,ORC3- ,OTUD4+,PA2G4-,PDHB-,PDHX-,PHF3+,PLRG1-,POLI-,POLR2K-- ,POU5F2+,PPP4R2+,PRDX3-,PRKDC-,PRMT3-,PRMT6- ,PRPF38B+,PRPF40A+,PRPF4B+,PSMD10-,PSMD14-,PURB+,PUS7+,QTRT2-,RAC1- ,RBBP6+,RBMLX1-,RC3H2+,REL+,RESF1+,RHOQ+,RIOK1-,RNF14- ,RNF168+,RORA+,RPF1-,SAP18-,SCARNA7+,SDHD-,SETD6+,SETDB2+,SF3B6- ,SIRT1+,SLC35A3+,SLRP-,SMAD4+,SMARCA1++,SMC5+,SNRPD1-,SNRPE-,SNW1- ,SREK1+,SRSF10+,SUCLG1-,SUPT3H-,TATDN1-,TATDN3-,TDRD3-,TENT2- ,TENT4B+,THOC2+,THOC7-,TIPIN-,TOPORS+,TRIP12-,TSN-,TTC21B+,TUT4+,UFL1- ,WDHD1--,XRCC4-,YY1+,ZBTB1+,ZBTB44+,ZC3H12C+,ZC3H13- ,ZCCHC8+,ZFC3H1+,ZFP3-,ZMYM4-,ZNF141+,ZNF264+,ZNF280C- ,ZNF292++,ZNF345+,ZNF383+,ZNF431+,ZNF441-,ZNF442-,ZNF484+,ZNF502- ,ZNF546+,ZNF585A-,ZNF627--,ZNF639+,ZNF737-,ZRANB3-

blue	BP	GO:0006396	RNA processing	261	897	9.19E-26	1.12E-22	ADAT2-,BMT2+,CDK13+,CLNS1A-,CPSF3-,DCAF13-,DUS4L-,ECD-,FIP1L1-,GEMIN2-,GTF2H3-,GTF2H5-,IK-,INTS6+,LSM3-,MAGOH-,METTL15-,MFAP1-,MRPS9-,NBDY-,PA2G4-,PLRG1-,POLR2K--,PPP4R2+,PRPF38B+,PRPF40A+,PRPF4B+,PUS7+,QRT2-,RBBP6+,RBMXL1-,RIOK1-,RPF1-,SAP18-,SCARNA7+,SF3B6-,SIRT1+,SNRPD1-,SNRPE-,SNW1-,SREK1+,SRSF10+,TENT2-,TENT4B+,THOC2+,THOC7-,TSN-,TUT4+,ZC3H13-,ZCCHC8+,ZFC3H1+
blue	BP	GO:0046483	heterocycle metabolic process	1025	4987	2.94E-25	3.08E-22	ADAL--,ADAT2-,AFG1L-,AHCTF1+,AIMP1-,ANKRD31-,ARMCX3-,ASF1A-,ATF6-,ATIC-,ATP5MG-,ATP5PB--,ATR-,ATRX+,BLM+,BLZF1-,BM1+,BMT2+,BPNT1-,BRWD1+,CBX5+,CDK13+,CETN2-,CHD1+,CHURC1--,CLNS1A-,CLOCK+,CLPX-,CNOT10--,CPSF3-,CREBRF+,CREG1-,CRLF3+,CTH-,DCAF13-,DEK+,DNAJC2+,DUS4L-,ECD-,EGLN1+,EIF2A-,ELOC-,EPC1+,EPC2++,EPRS1-,ERH-,ETV1-,FANCF-,FASTKD3-,FIP1L1-,FOXO3+,G3BP1+,GALR1-,GART-,GEMIN2-,GNPNAT1+,GPD2-,GTF2A2-,GTF2B-,GTF2E1-,GTF2H3-,GTF2H5-,H4C3-,HIGD1A-,HMGN1-,HSD17B12-,IK-,INO80D+,INTS6+,JAK2+,LCOR++,LCORL+,LIAS-,LIG4-,LIN9+,LRRK2-,LSM3-,MAGOH-,MAP3K2+,MBD2+,ME1-,ME2-,MED4-,MEIS2-,METTL15-,MFAP1-,MIER3+,MLF1-,MMUT-,MPC1--,MRPS9-,MTR-,NAA16++,NBDY-,NCOA4-,NDUFA12-,NDUFC1-,NDUFS4-,NFAT5+,NFE2L3+,NIPSNAP2-,NUDT12-,NUDT4+,NUP42-,NUP54-,ORC3-,OTUD4+,PA2G4-,PDHB-,PDHX-,PHF3+,PLRG1-,POLI-,POLR2K--,POU5F2+,PPP4R2+,PRDX3-,PRKDC-,PRMT3-,PRMT6-,PRPF38B+,PRPF40A+,PRPF4B+,PSMD10-,PSMD14-,PURB+,PUS7+,QRT2-,RAC1-,RBBP6+,RBMXL1-,RC3H2+,REL+,RESF1+,RHOQ+,RIOK1-,RNF14-,RNF168+,RORA+,RPF1-,SAP18-,SCARNA7+,SDHD-,SETD6+,SETDB2+,SF3B6-,SIRT1+,SLC35A3+,SLIRP-,SMAD4+,SMARCA1++,SMC5+,SNRPD1-,SNRPE-,SNW1-,SREK1+,SRSF10+,SUCLG1-,SUPT3H-,TATDN1-,TATDN3-,TDRD3-,TENT2-,TENT4B+,THOC2+,THOC7-,TIPIN-,TOPORS+,TRIP12-,TSN-,TTC21B+,TUT4+,UFL1-,WDHD1--,XRCC4-,YY1+,ZBTB1+,ZBTB44+,ZC3H12C+,ZC3H13-,ZCCHC8+,ZFC3H1+,ZFP3-,ZMYM4-,ZNF141+,ZNF264+,ZNF280C-,ZNF292++,ZNF345+,ZNF383+,ZNF431+,ZNF441-,ZNF442-,ZNF484+,ZNF502-,ZNF546+,ZNF585A-,ZNF627--,ZNF639+,ZNF737-,ZRANB3-
blue	BP	GO:0006725	cellular aromatic compound metabolic process	1025	5017	3.30E-24	3.03E-21	ADAL--,ADAT2-,AFG1L-,AHCTF1+,AIMP1-,ANKRD31-,ARMCX3-,ASF1A-,ATF6-,ATIC-,ATP5MG-,ATP5PB--,ATR-,ATRX+,BLM+,BLZF1-,BM1+,BMT2+,BPNT1-,BRWD1+,CBX5+,CDK13+,CETN2-,CHD1+,CHURC1--,CLNS1A-,CLOCK+,CLPX-,CNOT10--,CPSF3-,CREBRF+,CREG1-,CRLF3+,CTH-,DCAF13-,DEK+,DNAJC2+,DUS4L-,ECD-,EGLN1+,EIF2A-,ELOC-,EPC1+,EPC2++,EPRS1-,ERH-,ETV1-,FANCF-,FASTKD3-,FIP1L1-,FOXO3+,G3BP1+,GALR1-,GART-,GEMIN2-,GNPNAT1+,GPD2-,GTF2A2-,GTF2B-,GTF2E1-,GTF2H3-,GTF2H5-,H4C3-,HIGD1A-,HMGN1-,HSD17B12-,IK-,INO80D+,INTS6+,JAK2+,LCOR++,LCORL+,LIG4-,LIN9+,LRRK2-,LSM3-,MAGOH-,MAP3K2+,MBD2+,ME1-,ME2-,MED4-,MEIS2-,METTL15-,MFAP1-,MIER3+,MLF1-,MMUT-,MPC1--,MRPS9-,MTR-,NAA16++,NBDY-,NCOA4-,NDUFA12-,NDUFC1-,NDUFS4-,NFAT5+,NFE2L3+,NIPSNAP2-,NUDT12-,NUDT4+,NUP42-,NUP54-,ORC3-,OTUD4+,PA2G4-,PDHB-,PDHX-,PHF3+,PLRG1-,POLI-,POLR2K--,POU5F2+,PPP4R2+,PRDX3-,PRKDC-,PRMT3-,PRMT6-,PRPF38B+,PRPF40A+,PRPF4B+,PSMD10-,PSMD14-,PURB+,PUS7+,QRT2-,RAC1-,RBBP6+,RBMXL1-,RC3H2+,REL+,RESF1+,RHOQ+,RIOK1-,RNF14-,RNF168+,RORA+,RPF1-,SAP18-,SCARNA7+,SDHD-,SETD6+,SETDB2+,SF3B6-,SIRT1+,SLC35A3+,SLIRP-,SMAD4+,SMARCA1++,SMC5+,SNRPD1-,SNRPE-,SNW1-,SREK1+,SRSF10+,SUCLG1-,SUPT3H-,TATDN1-,TATDN3-,TDRD3-,TENT2-,TENT4B+,THOC2+,THOC7-,TIPIN-,TOPORS+,TRIP12-,TRPC1-,TSN-,TTC21B+,TUT4+,UFL1-,WDHD1--,XRCC4-,YY1+,ZBTB1+,ZBTB44+,ZC3H12C+,ZC3H13-,ZCCHC8+,ZFC3H1+,ZFP3-,ZMYM4-,ZNF141+,ZNF264+,ZNF280C-,ZNF292++,ZNF345+,ZNF383+,ZNF431+,ZNF441-,ZNF442-,ZNF484+,ZNF502-,ZNF546+,ZNF585A-,ZNF627--,ZNF639+,ZNF737-,ZRANB3-
blue	MF	GO:1901363	heterocyclic compound binding	1018	4946	8.17E-24	6.67E-21	ABCD3-,AFG1L-,AGPS-,AHCTF1+,AIMP1-,ALDH1A1-,ATF6-,ATR-,ATRX+,BLM+,BLZF1-,CAPRIN1-,CDK13+,CDKL3-,CHD1+,CLNS1A-,CLOCK+,CLPX-,CPSF3-,CREBRF+,CRLF3+,CTH-,DBT-,DCAF13-,DDX50-,DEK+,DGKH-,DNAJC2+,DUS4L-,EIF2A-

								,EIF2B1-,EIF2S1-,EIF2S3-,EIF3M-,EIF4E-,EPRS1-,ERH-,ETV1-,FASTKD3-,FIP1L1-,FOXO3+,G3BP1+,GART-,GDI2-,GFM1-,GNL2-,GTF2B-,GTF2H5-,GVINP1--,H4C3-,HMGN1-,JAK2+,LCOR+,LCORL+,LIG4-,LIN9+,LONP2-,LRRK2-,LSM3-,MAGOH-,MAK16-,MAP3K2+,MBD2+,ME1-,ME2-,MEIS2-,MFAP1-,MIER3+,MLF1-,MMUT-,MORC3+,MRPL13-,MRPS18C-,MRPS28-,MRPS35-,MRPS9--,MTR-,NFAT5+,NFE2L3+,NUDT4+,NUP42-,ORC3-,OTUD4+,PA2G4-,PDIA3-,PIN4-,PLPBP-,POLI-,POLR2K--,POU5F2+,PRKDC-,PRMT3-,PRPF38B+,PRPF40A+,PRPF4B+,PURB+,PUS7+,RABL3-,RAC1-,RBBP6+,RBM48+,RBMXL1-,RC3H2+,REL+,RHEB-,RHOQ+,RIOK1-,RORA+,RPF1-,SAP18-,SAR1A-,SCP2-,SDHD-,SETDB2+,SF3B6-,SIRT1+,SLFN5-,SLIRP-,SMAD4+,SMARCA1++,SMC5+,SNRPD1-,SNRPE-,SNW1-,SREK1+,SRP19+,SRP54-,SRP9-,SRSF10+,SUCLG1-,SUPT3H-,TBCA-,TDRD3-,TENT2-,TENT4B+,THOC2+,THOC7-,TIPIN-,TLK1-,TOPORS+,TSN-,TUT4+,UBE2E1-,WDHD1--,YWHAE-,YY1+,ZBTB1+,ZBTB44+,ZC3H13-,ZCCHC7-,ZCCHC8+,ZCCHC9-,ZFC3H1+,ZFP3-,ZMYM4-,ZNF141+,ZNF264+,ZNF280C-,ZNF292++,ZNF345+,ZNF383+,ZNF431+,ZNF441-,ZNF442-,ZNF484+,ZNF502-,ZNF546+,ZNF585A-,ZNF627--,ZNF639+,ZNF737-,ZRANB3-
blue	BP	GO:0010467	gene expression	935	4514	4.54E-23	3.33E-20	ADAT2-,AHCTF1+,AIMP1-,ARCMX3-,ASF1A-,ATF6-,ATRX+,BIRC3+,BLM+,BLZF1-,BM1+,BMT2+,BRWD1+,CAPRIN1-,CBX5+,CDK13+,CHD1+,CHURC1--,CIAO2A-,CLNS1A-,CLOCK+,CNOT10--,CNPY2--,CPSF3-,CREBRF+,CREG1-,CRLF3+,CTH-,DCAF13-,DEK+,DNAJB11-,DNAJC2+,DUS4L-,ECD-,EGLN1+,EIF2A-,EIF2B1-,EIF2S1-,EIF2S3-,EIF3M-,EIF4E-,ELOC-,EPC1++,EPCS1-,ETV1-,FASTKD3-,FIP1L1-,FOXO3+,GALR1-,GEMIN2-,GFM1-,GTF2A2-,GTF2B-,GTF2E1-,GTF2H3-,GTF2H5-,H4C3-,HIGD1A-,HMGN1-,IK-,IMMP1L-,INTS6+,ISCA2-,ITGB8+,JAK2+,LCOR++,LCORL+,LIN9+,LONP2-,LRRK2-,LSM3-,MAGOH-,MAP3K2+,MBD2+,MED4-,MEIS2-,METTL15-,MFAP1-,MIER3+,MLF1-,MRPL13-,MRPL47-,MRPL51-,MRPS18C-,MRPS28-,MRPS35-,MRPS9-,NAA16++,NBDY-,NCOA4-,NF1-,NFAT5+,NFE2L3+,NUP42-,NUP54-,PA2G4-,PHF3+,PLGRKT-,PLRG1-,POLR2K--,POU5F2+,PPP4R2+,PRDX3-,PRKDC-,PRMT3-,PRMT6-,PRPF38B+,PRPF40A+,PRPF4B+,PSMD10-,PSMD14-,PURB+,PUS7+,QTRT2-,RBBP6+,RBMXL1-,RC3H2+,REL+,RESF1+,RHOQ+,RIOK1-,RNF14-,RNF168+,RORA+,RPF1-,SAP18-,SCARNA7+,SETD6+,SETDB2+,SF3B6-,SIRT1+,SMAD4+,SMARCA1++,SNRPD1-,SNRPE-,SNW1-,SPCS2-,SREK1+,SRP9-,SRSF10+,SUPT3H-,TENT2-,TENT4B+,THOC2+,THOC7-,TMA7-,TOPORS+,TSN-,TTC21B+,TUT4+,UFL1-,WDHD1--,YY1+,ZBTB1+,ZBTB44+,ZC3H13-,ZCCHC8+,ZFC3H1+,ZFP3-,ZMYM4-,ZNF141+,ZNF264+,ZNF280C-,ZNF292++,ZNF345+,ZNF383+,ZNF431+,ZNF441-,ZNF442-,ZNF484+,ZNF502-,ZNF546+,ZNF585A-,ZNF627--,ZNF639+,ZNF737-
cyan	BP	GO:0006119	oxidative phosphorylation	26	122	1.96E-13	1.04E-09	ATP5F1A-,ATP5F1B--,ATP5F1C--,ATP5F1E-,ATP5MC3-,ATP5PF-,ATP5PO-,COX15--,COX5A-,COX7A2-,COX7B-,COX7C-,NDUFA1--,NDUFA4-,NDUFA6--,NDUFAB1-,NDUFAF1-,NDUFB1--,NDUFB3--,NDUFB4-,PARK7-,UQCRC2--
cyan	BP	GO:0009144	purine nucleoside triphosphate metabolic process	33	291	4.17E-13	1.04E-09	ATP5F1A-,ATP5F1B--,ATP5F1C--,ATP5F1E-,ATP5MC3-,ATP5PF-,ATP5PO-,BPGM--,COX15--,COX5A-,COX7A2-,COX7B-,COX7C-,DGUOK-,NDUFA1--,NDUFA4-,NDUFA6--,NDUFAB1-,NDUFAF1-,NDUFB1--,NDUFB3--,NDUFB4-,PARK7-,PGAM1-,PRKAG1--,UQCRC2--
cyan	BP	GO:0046034	ATP metabolic process	31	257	4.24E-13	1.04E-09	ATP5F1A-,ATP5F1B--,ATP5F1C--,ATP5F1E-,ATP5MC3-,ATP5PF-,ATP5PO-,BPGM--,COX15--,COX5A-,COX7A2-,COX7B-,COX7C-,NDUFA1--,NDUFA4-,NDUFA6--,NDUFAB1-,NDUFAF1-,NDUFB1--,NDUFB3--,NDUFB4-,PARK7-,PGAM1-,PRKAG1--,UQCRC2--
cyan	BP	GO:0044281	small molecule metabolic process	76	1709	6.47E-13	1.19E-09	ATP5F1A-,ATP5F1B--,ATP5F1C--,ATP5F1E-,ATP5MC3-,ATP5PF-,ATP5PO-,BPGM--,CHP1-,COX15--,COX5A-,COX7A2-,COX7B-,COX7C-,DGUOK-,FARSB-,FH-,FUCA1-,GSTO1-,HEXB-,KARS1-,LCMT1-,LGMN-,MGST3-,NDUFA1--,NDUFA4-,NDUFA6--,NDUFAB1-,NDUFAF1-,NDUFB1--,NDUFB3--,NDUFB4-,OSBP-,PARK7-,PECR-,PGAM1-,PPCS-,PPT1--,PRKAG1--,PSMB2-,PSMB4-,PSMC2-,PSMD13--,PUDP-,RDH11-,RRM1-,SARS1-,SDHB-,SRR--,UQCRC2--,VDAC1-

cyan	BP	GO:0009205	purine ribonucleoside triphosphate metabolic process	32	285	1.32E-12	1.68E-09	ATP5F1A-,ATP5F1B--,ATP5F1C--,ATP5F1E-,ATP5MC3-,ATP5PF-,ATP5PO-,BPGM--,COX15--,COX5A-,COX7A2-,COX7B-,COX7C-,NDUFA1--,NDUFA4-,NDUFA6--,NDUFAB1-,NDUFAF1-,NDUFB1--,NDUFB3--,NDUFB4-,PARK7-,PGAM1-,PRKAG1--,UQCRC2--
cyan	BP	GO:0009123	nucleoside monophosphate metabolic process	33	321	1.57E-12	1.68E-09	ATP5F1A-,ATP5F1B--,ATP5F1C--,ATP5F1E-,ATP5MC3-,ATP5PF-,ATP5PO-,BPGM--,COX15--,COX5A-,COX7A2-,COX7B-,COX7C-,DGUOK-,NDUFA1--,NDUFA4-,NDUFA6--,NDUFAB1-,NDUFAF1-,NDUFB1--,NDUFB3--,NDUFB4-,PARK7-,PGAM1-,PRKAG1--,UQCRC2--
cyan	BP	GO:0009141	nucleoside triphosphate metabolic process	33	309	1.91E-12	1.68E-09	ATP5F1A-,ATP5F1B--,ATP5F1C--,ATP5F1E-,ATP5MC3-,ATP5PF-,ATP5PO-,BPGM--,COX15--,COX5A-,COX7A2-,COX7B-,COX7C-,DGUOK-,NDUFA1--,NDUFA4-,NDUFA6--,NDUFAB1-,NDUFAF1-,NDUFB1--,NDUFB3--,NDUFB4-,PARK7-,PGAM1-,PRKAG1--,UQCRC2--
cyan	BP	GO:0009199	ribonucleoside triphosphate metabolic process	32	291	2.01E-12	1.68E-09	ATP5F1A-,ATP5F1B--,ATP5F1C--,ATP5F1E-,ATP5MC3-,ATP5PF-,ATP5PO-,BPGM--,COX15--,COX5A-,COX7A2-,COX7B-,COX7C-,NDUFA1--,NDUFA4-,NDUFA6--,NDUFAB1-,NDUFAF1-,NDUFB1--,NDUFB3--,NDUFB4-,PARK7-,PGAM1-,PRKAG1--,UQCRC2--
cyan	BP	GO:0009161	ribonucleoside monophosphate metabolic process	32	304	2.06E-12	1.68E-09	ATP5F1A-,ATP5F1B--,ATP5F1C--,ATP5F1E-,ATP5MC3-,ATP5PF-,ATP5PO-,BPGM--,COX15--,COX5A-,COX7A2-,COX7B-,COX7C-,NDUFA1--,NDUFA4-,NDUFA6--,NDUFAB1-,NDUFAF1-,NDUFB1--,NDUFB3--,NDUFB4-,PARK7-,PGAM1-,PRKAG1--,UQCRC2--
cyan	BP	GO:0009167	purine ribonucleoside monophosphate metabolic process	31	291	4.47E-12	3.28E-09	ATP5F1A-,ATP5F1B--,ATP5F1C--,ATP5F1E-,ATP5MC3-,ATP5PF-,ATP5PO-,BPGM--,COX15--,COX5A-,COX7A2-,COX7B-,COX7C-,NDUFA1--,NDUFA4-,NDUFA6--,NDUFAB1-,NDUFAF1-,NDUFB1--,NDUFB3--,NDUFB4-,PARK7-,PGAM1-,PRKAG1--,UQCRC2--
Dark grey	MF	GO:0140110	transcription regulator activity	8	1623	7.05E-05	0.31	TCP10L+,ZNF749+
Dark grey	MF	GO:0000981	DNA-binding transcription factor activity, RNA polymerase II-specific	7	1209	8.51E-05	0.31	ZNF749+
Dark grey	MF	GO:0003700	DNA-binding transcription factor activity	7	1298	0.00014	0.33	ZNF749+
Dark grey	BP	GO:0006357	regulation of transcription by RNA polymerase II	8	2123	0.00049	0.90	TCP10L+,ZNF749+
Dark grey	BP	GO:0006366	transcription by RNA polymerase II	8	2250	0.00075	1	TCP10L+,ZNF749+
Dark turquoise	MF	GO:0043138	3'-5' DNA helicase activity	2	19	0.0025	1	
Dark turquoise	MF	GO:0016787	hydrolase activity	17	1995	0.0035	1	METAP1D-,RAB4B-,RGS11-,USP31+
Dark turquoise	MF	GO:0003824	catalytic activity	31	4682	0.0038	1	METAP1D-,PDIA2-,RAB4B-,RGS11-,RNF130+,USP31+
Dark turquoise	MF	GO:0004843	thiol-dependent ubiquitin-specific protease activity	3	84	0.0040	1	USP31+
Dark turquoise	MF	GO:0036459	thiol-dependent ubiquitinyl hydrolase activity	3	92	0.0054	1	USP31+
Green yellow	BP	GO:0050896	response to stimulus	293	6519	7.93E-17	5.37E-13	ABCG2-,AKR1C1+,ANO6+,BMP6-,C7+,CASP7+,CASQ2-,CCND1-,CD58+,CFI+,CLEC2B+,CLEC5A++,CTNND1-,EPS8-,FBXO32+,FOXN3+,GBP2+,HEBP2++,HIPK1+,IFI16+,IFNAR2-,IL13RA1+,IQGAP2+,KDR-,LEPROT-,LYZ+,MAML2+,MYL9-,NEDD4++,NPNT+,PRRX1+,PYGL+,RAB13+,RAB29+,RASSF3++,RECQL-

								,S100A4+,SLC40A1-,SLC7A2++,SMOC2-,STK38+,SWAP70+,TRIB2-,UBR5+,WWTR1++,YAP1+
Green yellow	BP	GO:0030198	extracellular matrix organization	43	287	1.46E-16	5.37E-13	COL13A1-,COL14A1-,KDR-,LAMC1+,NID2-,NPNT+,SMOC2-
Green yellow	BP	GO:0002376	immune system process	133	2121	2.59E-16	6.35E-13	ANO6+,BMP6-,C7+,CD58+,CFI+,CLEC2B+,CLEC5A++,EPS8-,GBP2+,HEBP2++,HIPK1+,IFI16+,IFNAR2-,IQGAP2+,KDR-,LYZ+,MYL9-,PYGL+,RAB29+,SLC40A1-,SLC7A2++,SWAP70+,YAP1+
Green yellow	MF	GO:0005201	extracellular matrix structural constituent	29	128	6.46E-16	1.19E-12	COL13A1-,COL14A1-,LAMC1+,NID2-,NPNT+
Green yellow	BP	GO:0043062	extracellular structure organization	44	321	1.44E-15	2.12E-12	COL13A1-,COL14A1-,KDR-,LAMC1+,NID2-,NPNT+,SMOC2-
Green yellow	BP	GO:0006955	immune response	95	1399	7.84E-14	9.60E-11	ANO6+,BMP6-,C7+,CD58+,CFI+,CLEC2B+,CLEC5A++,GBP2+,HEBP2++,IFI16+,IFNAR2-,IQGAP2+,LYZ+,PYGL+,RAB29+,SWAP70+
Green yellow	BP	GO:0007166	cell surface receptor signaling pathway	133	2245	1.98E-13	2.08E-10	ANO6+,BMP6-,CCND1-CTNND1-,GBP2+,HIPK1+,IFNAR2-,IL13RA1+,KDR-,LEPROT-,MAML2+,NEDD4++,NPNT+,PRRX1+,RAB29+,SMOC2-,UBR5+,WWTR1++,YAP1+
Green yellow	BP	GO:0007155	cell adhesion	83	1111	9.87E-13	9.06E-10	BMP6-,CD58+,COL13A1-,COL14A1-,CTNND1-,KDR-,LAMC1+,LPP+,MYL9-,NID2-,NPNT+,PCDH18+,SMOC2-,SWAP70+
Green yellow	BP	GO:0022610	biological adhesion	83	1115	1.16E-12	9.44E-10	BMP6-,CD58+,COL13A1-,COL14A1-,CTNND1-,KDR-,LAMC1+,LPP+,MYL9-,NID2-,NPNT+,PCDH18+,SMOC2-,SWAP70+
Green yellow	BP	GO:0070887	cellular response to chemical stimulus	139	2502	1.68E-12	1.24E-09	ABCG2-,AKR1C1+,ANO6+,BMP6-,CASP7+,CASQ2-,CCND1-,CD58+,EPS8-,FBXO32+,GBP2+,HIPK1+,IFI16+,IFNAR2-,IL13RA1+,KDR-,LEPROT-,NEDD4++,NPNT+,RAB13+,SLC40A1-,SMOC2-,SWAP70+,UBR5+,YAP1+
Light yellow	BP	GO:0051094	positive regulation of developmental process	21	1088	3.48E-05	0.072	BMPR1A+,BTG1++,CCDC71L+,FBXO5+,HGF+,KL-,MALT1+,SOCS2+
Light yellow	BP	GO:0019220	regulation of phosphate metabolic process	24	1403	5.33E-05	0.072	BMPR1A+,DUSP6-,HGF+,KL-,MALT1+,PDK1+,SOCS2+
Light yellow	BP	GO:0051174	regulation of phosphorus metabolic process	24	1405	5.45E-05	0.072	BMPR1A+,DUSP6-,HGF+,KL-,MALT1+,PDK1+,SOCS2+
Light yellow	BP	GO:0045597	positive regulation of cell differentiation	17	785	5.45E-05	0.072	BMPR1A+,BTG1++,CCDC71L+,FBXO5+,HGF+,MALT1+,SOCS2+
Light yellow	BP	GO:0042327	positive regulation of phosphorylation	17	790	5.83E-05	0.072	BMPR1A+,DUSP6-,HGF+,KL-,MALT1+
magenta	MF	GO:0000981	DNA-binding transcription factor activity, RNA polymerase II-specific	53	1209	1.96E-08	0.00011	FOXD4L5+,MLLT3+,RFX7+,ZNF285-,ZNF550+,ZNF776+,ZNF829++,ZSCAN23-
magenta	MF	GO:0003700	DNA-binding transcription factor activity	55	1298	2.97E-08	0.00011	FOXD4L5+,GOLGB1+,MLLT10+,MLLT3+,RFX7+,ZNF285-,ZNF550+,ZNF776+,ZNF829++,ZSCAN23-
magenta	MF	GO:0003677	DNA binding	68	1976	1.59E-06	0.0029	CENPC+,CXXC4+,FOXD4L5+,GOLGB1+,MLLT10+,REV3L+,RFX7+,SHPRH+,ZNF285-,ZNF550+,ZNF776+,ZNF829++,ZSCAN23-
magenta	MF	GO:0140110	transcription regulator activity	59	1623	1.92E-06	0.0029	FOXD4L5+,GOLGB1+,MLLT10+,MLLT3+,RFX7+,ZNF285-,ZNF550+,ZNF776+,ZNF829++,ZSCAN23-
magenta	BP	GO:0044782	cilium organization	21	324	1.98E-06	0.0029	CEP126+,CFAP44+,HAUS3+
magenta	BP	GO:0060271	cilium assembly	20	309	3.51E-06	0.0043	CEP126+,CFAP44+,HAUS3+
magenta	BP	GO:0061512	protein localization to cilium	7	47	3.48E-05	0.036	
pink	BP	GO:0048709	oligodendrocyte differentiation	17	88	1.92E-08	0.00014	DAAM2-,HDAC11-,NKX6-2+
pink	BP	GO:0010001	glial cell differentiation	24	189	1.29E-07	0.00047	DAAM2-,HDAC11-,NKX6-2+,SIRT2-
pink	BP	GO:0042063	gliogenesis	27	246	4.66E-07	0.0011	DAAM2-,E2F1-,HDAC11-,NKX6-2+,SIRT2-,SUN2+
pink	BP	GO:0014013	regulation of gliogenesis	15	97	2.66E-06	0.0049	DAAM2-,E2F1-,NKX6-2+,SIRT2-

pink	BP	GO:0042552	myelination	16	121	1.22E-05	0.016	MAL-,NKX6-2+,PLLP-,SIRT2-
pink	BP	GO:0007272	ensheathment of neurons	16	123	1.52E-05	0.016	MAL-,NKX6-2+,PLLP-,SIRT2-
pink	BP	GO:0008366	axon ensheathment	16	123	1.52E-05	0.016	MAL-,NKX6-2+,PLLP-,SIRT2-
pink	BP	GO:0014003	oligodendrocyte development	9	42	1.70E-05	0.016	HDAC11-,NKX6-2+
pink	BP	GO:0014015	positive regulation of gliogenesis	10	60	5.50E-05	0.039	E2F1-,NKX6-2+
pink	BP	GO:0045685	regulation of glial cell differentiation	10	60	6.24E-05	0.039	DAAM2-,NKX6-2+
salmon	BP	GO:0043933	protein-containing complex subunit organization	74	1926	1.47E-10	1.08E-06	ABT1-,AIMP2-,BBS4-,CCDC115-,CHMP4B-,COA3--,COX14-,DDB1-,EIF3C-,EIF3K-,EIF3L-,EIF4H-,GBA-,GLE1-,H2BC15-,HAX1--,MRPL11-,MRPL2-,MRPL27--,MRPL37-,MRPL54-,MRPL57-,MSRB2-,NDUFA2--,NDUFA8-,NDUFB2--,NDUFB8--,NDUFS3--,NDUFS6-,NFS1--,NME2-,PDCD6-,PDZD11--,PFDN6-,PSMC3--,PSMD4-,SAMM50-,STOML2-,TRAPPC1--,TRAPPC4-,UQCC1-,UQCR10-,VIPAS39-
salmon	BP	GO:0034622	cellular protein-containing complex assembly	49	985	3.44E-10	1.26E-06	ABT1-,BBS4-,CCDC115-,COA3--,COX14-,DDB1-,EIF3C-,EIF3K-,EIF3L-,EIF4H-,H2BC15-,HAX1--,MRPL11-,MSRB2-,NDUFA2--,NDUFA8-,NDUFB2--,NDUFB8--,NDUFS3--,NDUFS6-,PFDN6-,PSMC3--,PSMD4-,SAMM50-,UQCC1-,UQCR10-
salmon	BP	GO:0065003	protein-containing complex assembly	64	1645	6.09E-10	1.49E-06	ABT1-,AIMP2-,BBS4-,CCDC115-,CHMP4B-,COA3--,COX14-,DDB1-,EIF3C-,EIF3K-,EIF3L-,EIF4H-,GBA-,H2BC15-,HAX1--,MRPL11-,MSRB2-,NDUFA2--,NDUFB2--,NDUFB8--,NDUFS3--,NDUFS6-,NFS1--,NME2-,PDCD6-,PDZD11--,PFDN6-,PSMC3--,PSMD4-,SAMM50-,TRAPPC1--,TRAPPC4-,UQCC1-,UQCR10-
salmon	BP	GO:0016043	cellular component organization	130	5383	4.51E-09	8.27E-06	ABT1-,ACTG1-,AIMP2-,ALAS1-,ANAPC15--,ATP5MC1-,ATP5MF--,BABAM2-,BBS4-,CAPNS1-,CCDC115-,CHMP4B-,COA3--,COPS6-,COX14-,DDB1-,EIF3C-,EIF3K-,EIF3L-,EIF4H-,FUNDC2-,GBA-,GLE1-,H2BC15-,HAX1--,IFT27--,IQGAP3--,MAP2K5--,MRPL11-,MRPL2-,MRPL27--,MRPL37-,MRPL54-,MRPL57-,MSRB2-,NDUFA2--,NDUFA8-,NDUFB2--,NDUFB8--,NDUFS3--,NDUFS6-,NFS1--,NHP2-,NME2-,NP3--,PDCD6-,PDZD11--,PEX19-,PEX7-,PFDN6-,PHB2-,PSMC3--,PSMD4-,RAB5B-,SAMM50-,SLC25A5--,STOML2-,STRADA-,SUPT4H1-,TCTN3--,TRAPPC1--,TRAPPC4-,TTC21A-,UQCC1-,UQCR10-,VIPAS39-,VPS25--,VPS33B-,VPS39-
salmon	BP	GO:0071840	cellular component organization or biogenesis	134	5565	6.72E-09	9.86E-06	ABT1-,ACTG1-,AIMP2-,ALAS1-,ANAPC15--,ATP5MC1-,ATP5MF--,BABAM2-,BBS4-,CAPNS1-,CCDC115-,CHMP4B-,COA3--,COPS6-,COX14-,DDB1-,EIF3C-,EIF3K-,EIF3L-,EIF4H-,FUNDC2-,GBA-,GLE1-,H2BC15-,HAX1--,IFT27--,IQGAP3--,MAP2K5--,MRPL11-,MRPL2-,MRPL27--,MRPL37-,MRPL54-,MRPL57-,MSRB2-,NDUFA2--,NDUFA8-,NDUFB2--,NDUFB8--,NDUFS3--,NDUFS6-,NFS1--,NHP2-,NME2-,NP3--,PDCD6-,PDZD11--,PEX19-,PEX7-,PFDN6-,PHB2-,POP4-,PSMC3--,PSMD4-,RAB5B-,SAMM50-,SLC25A5--,STOML2-,STRADA-,SUPT4H1-,TCTN3--,TRAPPC1--,TRAPPC4-,TTC21A-,UQCC1-,UQCR10-,VIPAS39-,VPS25--,VPS33B-,VPS39-
salmon	BP	GO:0006119	oxidative phosphorylation	19	122	2.10E-08	2.57E-05	ATP5MC1-,ATP5MF--,COX4I1--,COX5B-,COX6B1--,NDUFA2--,NDUFA8-,NDUFB2--,NDUFB8--,NDUFS3--,NDUFS6-,STOML2-,UQCR10-,UQCRQ-
salmon	BP	GO:0044085	cellular component biogenesis	83	2846	5.61E-08	5.56E-05	ABT1-,ACTG1-,AIMP2-,BBS4-,CCDC115-,CHMP4B-,COA3--,COX14-,DDB1-,EIF3C-,EIF3K-,EIF3L-,EIF4H-,GBA-,H2BC15-,HAX1--,IFT27--,MRPL11-,MSRB2-,NDUFA2--,NDUFA8-,NDUFB2--,NDUFB8--,NDUFS3--,NDUFS6-,NFS1--,NHP2-,NME2-,NP3--,PDCD6-,PDZD11--,PFDN6-,POP4-,PSMC3--,PSMD4-,SAMM50-,STOML2-,TCTN3--,TRAPPC1--,TRAPPC4-,UQCC1-,UQCR10-,VPS25--
salmon	BP	GO:0022607	cellular component assembly	76	2610	6.05E-08	5.56E-05	ABT1-,ACTG1-,AIMP2-,BBS4-,CCDC115-,CHMP4B-,COA3--,COX14-,DDB1-,EIF3C-,EIF3K-,EIF3L-,EIF4H-,GBA-,H2BC15-,HAX1--,IFT27--,MRPL11-,MSRB2-,NDUFA2--,NDUFA8-,NDUFB2--,NDUFB8--,NDUFS3--,NDUFS6-,NFS1--,NME2-,PDCD6-,PDZD11--,PFDN6-,PSMC3--,PSMD4-,SAMM50-,STOML2-,TCTN3--,TRAPPC1--,TRAPPC4-,UQCC1-,UQCR10-,VPS25--
salmon	BP	GO:1901564	organonitrogen compound metabolic process	135	5499	4.17E-07	0.00034	AARSD1-,AHCY-,AIMP2-,AKR1A1-,ALAS1-,ALDH18A1-,ANAPC15--,ATP5MC1-,ATP5MF--,BABAM2-,BPHL-,CAPNS1-,CCDC115-,CHMP4B-,COA3--,COMMD1-,COPS6-,COX4I1--,COX5B-,COX6B1--,DDB1-,DDOST-,EEF1AKNMT-,EIF3C-,EIF3K-,EIF3L-,EIF4H-

								,ERP29-,ESYT1-,GBA-,GLE1-,GMPR2-,GSS-,H2BC15-,HAX1--,HMOX2-,IQGAP3--,MAP2K5--,MED8-,MRPL11-,MRPL2-,MRPL27-,MRPL37-,MRPL54-,MRPL57-,MSRB2-,NDUFA2--,NDUFA8-,NDUFB2--,NDUFB8--,NDUFS3--,NDUFS6-,NFS1--,NHLRC1-,NME2-,PDCD6-,PDZD11--,PEBP1--,PHB2-,PSMC3--,PSMD4-,PSMD8-,PSME3--,STOML2-,STRADA-,UQCC1-,UQCR10-,UQCRQ-,VIPAS39-,VPS25--,VPS33B-,ZC3HC1-
salmon	BP	GO:0006996	organelle organization	86	3315	6.22E-07	0.00046	ABT1-,ACTG1-,ALAS1-,ANAPC15--,ATP5MC1-,ATP5MF--,BABAM2-,BBS4-,CCDC115-,CHMP4B-,COA3--,COPS6-,COX14-,DDB1-,FUNDC2-,GBA-,H2BC15-,HAX1--,IFT27--,MRPL11-,MSRB2-,NDUFA2--,NDUFA8-,NDUFB2--,NDUFB8--,NDUFS3--,NDUFS6-,NHP2-,NPMP3--,PDCD6-,PEX19-,PEX7-,PHB2-,RAB5B-,SAMM50-,SLC25A5--,STOML2-,SUPT4H1-,TCTN3--,TRAPP1--,TRAPP4-,TTC21A-,UQCC1-,UQCR10-,VPS25--,VPS33B-,VPS39-
turquoise	BP	GO:0044238	primary metabolic process	1543	8441	3.21E-06	0.012	AAAS-,AARS2-,ABHD14B-,ACADS-,ACAN+,ACOT8+,ACSS1-,ADAM15-,ADAM8-,ADAMTS13-,ADAMTS2++,ADCYAP1R1+,ADIPOR1--,ADPGK-,AGPAT1--,AKR7A2-,ALDH4A1-,ALYREF-,ANKRD9+,APH1A-,APLNR+,APOE-,ARHGEF10L-,ASPHD1-,ATAT1-,ATF5-,ATF6B-,ATG4B+,ATN1+,ATP5MC2-,AUTS2-,B3GALT4-,BCAP31-,BCKDHA-,BOLA1-,BRD1+,BRD2+,BRD4+,BRPF3+,CACNA1H-,CALR--,CASP9-,CBS+,CBY1-,CCDC88C-,CCS--,CES2-,CHST6++,CIB1-,CIC+,CINP-,CLEC3B-,CNDP2-,COMT-,COQ9-,CRAT-,CREBBP+,CRYL1-,CSNK2B-,CST3-,CSTB-,CYB5R3-,DCAF11-,DCAKD-,DDX49-,DELE1-,DESI1-,DGCR8+,DHRS7B-,DHX8-,DIDO1+,DLST-,DOK7+,DUS2-,ECH1-,EDEM2--,EEF2-,EEF2K+,EIF3D-,EIF5A-,ELOB-,ETFB--,FAH-,FAM3A-,FANCE+,FBXL12-,FBXO17+,FBXO6-,FBXW8-,FGFR3-,FIS1-,FKBP2-,FKBP9-,FLAD1-,FLCN+,FMC1-,FN3KRP-,FSTL3+,G6PC3-,G6PD-,GAMT-,GANAB-,GCDH-,GLI1+,GLMP-,GORASP1-,GPAT4+,GPR37L1-,GPX4-,GSTP1-,GTF2H4-,GU1-,GYS1-,H2BC4-,HDAC4++,HES4--,HES5-,HINT2--,HMBS-,HMGCL-,HNRNPL-,HR-,HRAS-,IKZF4+,IMP4-,INPP5K-,INTS3-,IRAK2++,IRF2BPL+,IRS2++,ITIH4-,IVD-,JADE2+,JARID2+,JDP2+,JUND+,KCTD5-,KDM4B+,KDM6B+,KLHL21+,LAMTOR1-,LARS2--,LSM7-,LTBP4+,MAPT-AS1+,MCM3-,MECP2+,MED20-,MFHAS1+,MGMT-,MICAL1-,MMP28--,MPV17L2-,MRM1-,MRPL20-,MRPL24--,MRPL53-,MRPS18B-,MSRB1--,MT3-,MTG2-,MYH3+,NCSTN-,NENF-,NFKBID+,NMRAL1-,NOL3-,NR6A1+,NTHL1-,NUCB1-,NUDT2--,NUP210-,OS9-,PARP3-,PARS2-,PC-,PDCD11-,PDE9A-,PER1+,PEX10-,PIM3+,PLK5+,PLPP4+,PMM2-,PNPLA6+,POLR2G-,POLR2L-,PPIF-,PPP1CA-,PPP1R1B-,PPP4C-,PRELID1-,PRKCD--,PSENEN--,PSMB10-,PTPN7-,PTPRU+,PUF60-,RAD9A-,RASA4+,RBM10-,RECQL5-,RERE+,RETSAT-,RFXANK-,RGMA+,RNF167-,RNF181-,RNF5-,RPN2-,RPS15-,RPS19-,RUBCN+,RUVBL1-,S100A1--,SARDH-,SCARNA13+,SDSL--,SEC13--,SF3A1--,SF3B5-,SH2D3C-,SHISA5-,SKI+,SLC35C2-,SLC44A2--,SMPD1-,SNAPIN-,SNHG12+,SNORA73A+,SNRNP40-,SOX12+,SPRED3-,SRRM2+,STARD10+,SUMF1-,SUMF2-,SURF1-,SWI5-,TAB1-,TBC1D10A-,TFPT-,TIMELESS+,TKFC-,TM7SF2--,TMEM258-,TMPRSS55-,TNFSF13-,TPP1-,TRAPP9-,TRIM47+,TRIM8+,TRPM4-,TRRAP+,TSHZ1+,TSR2-,TST-,TXN2--,UBE2I+,UQCR11-,URB1+,USP4-,VKORC1-,VRK3-,WNT4+,XYLT2-,ZBED6+,ZBTB7C+,ZDHHC11+,ZDHHC4--,ZMIZ1+,ZNF16-,ZNF219+,ZNF358+,ZNF445+,ZNF496-,ZNF500+,ZNF511+,ZNF589+,ZNF750+,ZNF768+,ZNF853+,ZNHIT1-,ZSCAN25-
turquoise	BP	GO:0018205	peptidyl-lysine modification	93	354	5.72E-06	0.012	AAAS-,ATAT1-,AUTS2-,BRD1+,BRD4+,BRPF3+,CREBBP+,FLCN+,HDAC4++,HINT2--,JADE2+,JARID2+,MECP2+,NUP210-,PER1+,RUVBL1-,TRPM4-,TRRAP+,UBE2I+,ZMIZ1+
turquoise	BP	GO:0008152	metabolic process	1648	9084	6.43E-06	0.012	AAAS-,AARS2-,ABHD14B-,ACADS-,ACAN+,ACOT8+,ACSS1-,ADAM15-,ADAM8-,ADAMTS13-,ADAMTS2++,ADCYAP1R1+,ADIPOR1--,ADPGK-,AGPAT1--,AKR7A2-,ALDH4A1-,ALKBH6-,ALYREF-,ANKRD9+,APH1A-,APLNR+,APOE-,ARAP1+,ARHGEF10L+,ASPHD1-,ATAT1-,ATF5-,ATF6B-,ATG4B+,ATN1+,ATP5MC2-,AUTS2-,B3GALT4-,BCAP31-,BCKDHA-,BOLA1-,BRD1+,BRD2+,BRD4+,BRPF3+,BSG-,CACNA1H-,CALR--,CASPA9-,CBS+,CBY1-,CCDC88C-,CCS--,CES2-,CHMP2A-,CHST6++,CIB1-,CIC+,CINP-,CLEC3B-,CNDP2-,COMT-,COQ9-,CRAT-,CREBBP+,CRYL1-,CSNK2B-,CST3-,CSTB-,CYB5R3-,DCAF11-,DCAKD-,DDX49-,DELE1-,DGCR8+,DHRS7B-,DHX8-,DIDO1+,DLST-,DOK7+,DUS2-,ECH1-,EDEM2--,EEF2-,EEF2K+,EIF3D-,EIF5A-,ELOB-,ETFB--,FAH-,FAM3A-,FANCE+,FBXL12-,FBXO17+,FBXO6-

							,FBXW8-,FGFR3-,FIS1-,FKBP2-,FKBP9-,FLAD1-,FLCN+,FMC1-,FN3KRP-,FSTL3+,G6PC3-,G6PD-,GABARAP-,GAMT-,GANAB-,GCDH-,GLI1+,GLMP-,GORASP1-,GPAT4+,GPR37L1-,GPX4-,GSTK1-,GSTP1-,GTF2H4-,GUK1-,GYS1-,H2BC4-,HDAC4++,HES4--,HES5-,HIGD2A-,HINT2--,HMBS-,HMGCL-,HNRNPL-,HR-,HRAS-,IKZF4+,IMP4-,INPP5K-,INTS3--,IRAK2++,IRF2BPL+,IRS2++,ITIH4-,IVD-,JADE2+,JARID2+,JDP2+,JUND+,KCTD5-,KDM4B+,KDM6B+,KLHL21+,LAMTOR1-,LAMTOR4-,LARS2--,LDHD-,LSM7-,LTBP4+,MAPT-AS1+,MCM3-,MECP2+,MED20-,MFHAS1+,MFN2-,MGMT-,MICAL1-,MICAL3+,MMP28--,MPV17-,MPV17L2-,MRM1-,MRPL20-,MRPL24--,MRPL53-,MRPS18B-,MSRB1-,MT3-,MTG2-,MYH3+,NCSTN-,NENF-,NFKBID+,NIT1-,NMRAL1-,NOL3-,NR6A1+,NTHL1-,NUCB1-,NUDT2--,NUP210-,OGFOD2-,OS9-,PARP3-,PARS2-,PC-,PDCD11-,PDE9A-,PER1+,PEX10-,PIM3+,PLK5+,PLPP4+,PMM2-,PNPLA6+,POLR2G-,POLR2L-,PPIF-,PPP1CA-,PPP1R1B-,PPP4C-,PRELID1-,PRKCD--,PSENEN--,PSMB10-,PTPN7-,PTPRU+,PUF60-,RAD9A-,RASA4+,RBM10-,RECOL5-,RERE+,RETSAT-,RFXANK-,RGMA+,RNF167-,RNF181-,RNF5-,ROMO1-,RPN2-,RPS15-,RPS19-,RUBCN+,RUVBL1-,S100A1--,SARDH-,SCARNA13+,SDSL--,SEC13--,SF3A1--,SF3B5-,SH2D3C-,SH3BGRL3-,SHISA5-,SKI+,SLC35C2-,SLC44A2--,SMOX+,SMPD1-,SNAPIN-,SNHG12+,SNORA73A+,SNRNP40-,SOX12+,SPRED3-,SRM-,SRRM2+,STARD10+,SUMF1-,SUMF2-,SUOX-,SURF1-,SWI5-,TAB1-,TBC1D10A-,TEX264-,TFPT-,TIMELESS+,TKFC-,TM7SF2--,TMEM258-,TMPRSS5+,TNFSF13-,TPP1-,TRAPPc9-,TRIM47+,TRIM8+,TRPM4-,TRRAP+,TSHZ1+,TSR2-,TST-,TXN2--,UBE2I+,UQCRC11-,URB1+,USP4-,VKORC1-,VRK3-,WNT4+,XYLT2-,ZBED6++,ZBTB7C+,ZDHHC11+,ZDHHC4--,ZMIZ1+,ZNF16-,ZNF219+,ZNF358+,ZNF445+,ZNF496-,ZNF500+,ZNF511+,ZNF589+,ZNF750+,ZNF768+,ZNF853+,ZNHIT1-,ZSCAN25-	
turquoise	BP	GO:0006807	nitrogen compound metabolic process	1482	8098	6.78E-06	0.012	AAAS-,AARS2-,ABHD14B-,ACAN+,ACOT8+,ACSS1-,ADAM15-,ADAM8-,ADAMTS13-,ADAMTS2++,ADPGK-,AGPAT1--,AKR7A2-,ALDH4A1-,ALYREF-,ANKRD9+,APH1A-,APLNR+,APOE-,ARHGEF10L-,ASPHD1-,ATAT1-,ATF5-,ATF6B-,ATG4B+,ATN1+,ATP5MC2-,AUTS2-,B3GALT4-,BCAP31-,BCKDHA-,BOLA1-,BRD1+,BRD2+,BRD4+,BRPF3+,CALR-,CASP9-,CBS+,CBY1-,CCDC88C-,CCS-- ,CHST6++,CIB1-,CIC+,CINP-,CLEC3B-,CNDP2-,COMT-,COQ9-,CRAT-,CREBBP+,CSNK2B-,CST3-,CSTB-,DCAF11-,DCAKD-,DDX49-,DELE1-,DES1-,DGCR8+,DHX8-,DIDO1+,DLST-,DOK7+,DUS2-,EDEM2--,EEF2-,EEF2K+,EIF3D-,EIF5A-,ELOB-,FAH-,FANCE+,FBXL12-,FBXO17+,FBXO6-,FBXW8-,FGFR3-,FIS1-,FKBP2-,FKBP9-,FLAD1-,FLCN+,FN3KRP-,FSTL3+,G6PD-,GAMT-,GANAB-,GCDH-,GLI1+,GLMP-,GORASP1-,GPAT4+,GPR37L1-,GPX4-,GSTK1-,GSTP1-,GTF2H4-,GUK1-,H2BC4-,HDAC4++,HES4--,HES5-,HINT2--,HMBS-,HMGCL-,HNRNPL-,HR-,HRAS-,IKZF4+,IMP4-,INPP5K-,INTS3--,IRAK2++,IRF2BPL+,IRS2++,ITIH4-,IVD-,JADE2+,JARID2+,JDP2+,JUND+,KCTD5-,KDM4B+,KDM6B+,KLHL21+,LAMTOR1-,LARS2--,LSM7-,LTBP4+,MAPT-AS1+,MCM3-,MECP2+,MED20-,MFHAS1+,MFN2-,MGMT-,MICAL1-,MICAL3+,MMP28--,MPV17L2-,MRM1-,MRPL20-,MRPL24--,MRPL53-,MRPS18B-,MSRB1-,MT3-,MTG2-,MYH3+,NCSTN-,NENF-,NFKBID+,NIT1-,NMRAL1-,NOL3-,NR6A1+,NTHL1-,NUDT2--,NUP210-,OS9-,PARP3-,PARS2-,PC-,PDCD11-,PDE9A-,PER1+,PEX10-,PIM3+,PLK5+,PMM2-,PNPLA6+,POLR2G-,POLR2L-,PPIF-,PPP1CA-,PPP1R1B-,PPP4C-,PRELID1-,PRKCD--,PSENEN--,PSMB10-,PTPN7-,PTPRU+,PUF60-,RAD9A-,RASA4+,RBM10-,RECOL5-,RERE+,RFXANK-,RGMA+,RNF167-,RNF181-,RNF5-,RPN2-,RPS15-,RPS19-,RUVBL1-,S100A1--,SARDH-,SCARNA13+,SDSL--,SEC13--,SF3A1--,SF3B5-,SH2D3C-,SHISA5-,SKI+,SLC35C2-,SLC44A2--,SMOX+,SMPD1-,SNAPIN-,SNHG12+,SNORA73A+,SNRNP40-,SOX12+,SPRED3-,SRM-,SRRM2+,STARD10+,SUMF1-,SUMF2-,SUOX-,SURF1-,SWI5-,TAB1-,TBC1D10A-,TFPT-,TIMELESS+,TMEM258-,TMPRSS5+,TNFSF13-,TPP1-,TRAPPc9-,TRIM47+,TRIM8+,TRPM4-,TRRAP+,TSHZ1+,TSR2-,TST-,TXN2--,UBE2I+,UQCRC11-,URB1+,USP4-,VKORC1-,VRK3-,WNT4+,XYLT2-,ZBED6++,ZBTB7C+,ZDHHC11+,ZDHHC4--,ZMIZ1+,ZNF16-,ZNF219+,ZNF358+,ZNF445+,ZNF496-,ZNF500+,ZNF511+,ZNF589+,ZNF750+,ZNF768+,ZNF853+,ZNHIT1-,ZSCAN25-

turquoise	BP	GO:0071704	organic substance metabolic process	1583	8718	1.51E-05	0.017	AAAS-,AARS2-,ABHD14B-,ACADS-,ACAN+,ACOT8+,ACSS1-,ADAM15-,ADAM8-,ADAMTS13-,ADAMTS2++,ADCYAP1R1+,ADIPOR1--,ADPGK-,AGPAT1--,AKR7A2-,ALDH4A1-,ALYREF-,ANKRD9+,APH1A-,APLNR+,APOE-,ARAP1+,ARHGEF10L+,ASPHD1-,ATAT1-,ATF5-,ATF6B-,ATG4B+,ATN1+,ATP5MC2-,AUTS2-,B3GALT4-,BCAP31-,BCKDHA-,BOLA1-,BRD1+,BRD2+,BRD4+,BRPF3+,BSG-,CACNA1H-,CALR--,CAS9-,CBS+,CBY1-,CCDC88C-,CCS--,CES2-,CHST6++,CIB1-,CIC+,CINP-,CLEC3B-,CNDP2-,COMT-,COQ9-,CRAT-,CREBBP+,CRYL1-,CSNK2B-,CST3-,CSTB-,CYB5R3-,DCAF11-,DCAKD-,DDX49-,DELE1-,DES1-,DGCR8+,DHR57B-,DHX8-,DIDO1+,DLST-,DOK7+,DUS2-,ECH1-,EDEM2--,EEF2-,EEF2K+,EIF3D-,EIF5A-,ELOB-,ETFB--,FAH-,FAM3A-,FANCE+,FBXL12-,FBXO17+,FBXO6-,FBXW8-,FGFR3-,FIS1-,FKBP2-,FKBP9-,FLAD1-,FLCN+,FMC1-,FN3KRP-,FSTL3+,G6PC3-,G6PD-,GANMT-,GANAB-,GCDH-,GLI1+,GLMP-,GORASP1-,GPAT4+,GPR37L1-,GPX4-,GSTK1-,GSTP1-,GTF2H4-,GU1-,GYS1-,H2BC4-,HDAC4++,HES4--,HES5-,HINT2--,HMBS-,HMGCL-,HNRNPL-,HR-,HRAS-,IKZF4+,IMP4-,INPP5K-,INTS3-,IRAK2++,IRF2BPL+,IRS2++,ITIH4-,IVD-,JADE2+,JARID2+,JDP2+,JUND+,KCTD5-,KDM4B+,KDM6B+,KLHL21+,LAMTOR1-,LARS2--,LDHD-,LSM7-,LTBP4+,MAPT-AS1+,MCM3-,MECP2+,MED20-,MFHAS1+,MGMT-,MICAL1-,MMP28--,MPV17L2-,MRM1-,MRPL20-,MRPL24--,MRPL53-,MRPS18B-,MSRB1--,MT3-,MTG2-,MYH3+,NCSTN-,NENF-,NFkBID+,NMRAL1-,NOL3-,NR6A1+,NTHL1-,NUCB1-,NUP210-,OS9-,PARP3-,PARS2-,PC-,PDCD11-,PER1+,PEX10-,PIM3+,PLK5+,PMM2-,POLR2G-,POLR2L-,PPIF-,PPP1CA-,PPP1R1B-,PPP4C-,PRELID1-
turquoise	BP	GO:0006325	chromatin organization	153	659	1.57E-05	0.017	AUTS2-,BRD1+,BRD2+,BRD4+,BRPF3+,CREBBP+,FLCN+,GPX4-,H2BC18-,H2BC4-,HDAC4++,HR-,JADE2+,JARID2+,JDP2+,KDM4B+,KDM6B+,MECP2+,MT3-,PER1+,PHF13+,PRKCD--,RERE+,RUVBL1-,SKI+,TRRAP+,ZMIZ1+,ZNHIT1-
turquoise	BP	GO:0043543	protein acylation	63	222	1.65E-05	0.017	ATAT1-,AUTS2-,BRD1+,BRPF3+,CREBBP+,DLST-,FLCN+,HINT2--,JADE2+,MECP2+,PER1+,RUVBL1-,TRRAP+,ZDHHC11+,ZDHHC4--
turquoise	BP	GO:0043170	macromolecule metabolic process	1375	7509	2.30E-05	0.021	AAAS-,AARS2-,ABHD14B-,ACAN+,ACOT8+,ADAM15-,ADAM8-,ADAMTS13-,ADAMTS2++,ALYREF-,ANKRD9+,APH1A-,APLNR+,APOE-,ARAP1+,ARHGEF10L+,ASPHD1-,ATAT1-,ATF5-,ATF6B-,ATG4B+,ATN1+,AUTS2-,B3GALT4-,BCAP31-,BCKDHA-,BOLA1-,BRD1+,BRD2+,BRD4+,BRPF3+,CALR--,CAS9-,CBS+,CBY1-,CCDC88C-,CCS--,CHST6++,CIB1-,CIC+,CINP-,CLEC3B-,CNDP2-,CREBBP+,CSNK2B-,CST3-,CSTB-,DCAF11-,DDX49-,DELE1-,DES1-,DGCR8+,DHX8-,DIDO1+,DLST-,DOK7+,DUS2-,EDEM2--,EEF2-,EEF2K+,EIF3D-,EIF5A-,ELOB-,FANCE+,FBXL12-,FBXO17+,FBXO6-,FBXW8-,FGFR3-,FIS1-,FKBP2-,FKBP9-,FLCN+,FN3KRP-,FSTL3+,G6PD-,GANAB-,GLI1+,GLMP-,GORASP1-,GPR37L1-,GSTP1-,GTF2H4-,GYS1-,H2BC4-,HDAC4++,HES4--,HES5-,HINT2--,HMBS-,HMGCL-,HNRNPL-,HR-,HRAS-,IKZF4+,IMP4-,INPP5K-,INTS3-,IRAK2++,IRF2BPL+,IRS2++,ITIH4-,JADE2+,JARID2+,JDP2+,JUND+,KCTD5-,KDM4B+,KDM6B+,KLHL21+,LAMTOR1-,LARS2--,LSM7-,LTBP4+,MAPT-AS1+,MCM3-,MECP2+,MED20-,MFHAS1+,MGMT-,MICAL1-,MMP28--,MPV17L2-,MRM1-,MRPL20-,MRPL24--,MRPL53-,MRPS18B-,MSRB1--,MT3-,MTG2-,MYH3+,NCSTN-,NENF-,NFkBID+,NMRAL1-,NOL3-,NR6A1+,NTHL1-,NUCB1-,NUP210-,OS9-,PARP3-,PARS2-,PC-,PDCD11-,PER1+,PEX10-,PIM3+,PLK5+,PMM2-,POLR2G-,POLR2L-,PPIF-,PPP1CA-,PPP1R1B-,PPP4C-,PRELID1-

								,PRKCD--,PSENEN--,PSMB10-,PTPN7-,PTPRU+,PUF60-,RAD9A-,RASA4+,RBM10-,RECQL5-,RERE+,RFXANK-,RGMA+,RNF167-,RNF181-,RNF5-,RPN2-,RPS15-,RPS19-,RUVBL1-,S100A1-,SCARNA13+,SEC13--,SF3A1--,SF3B5-,SH2D3C-,SHISA5-,SKI+,SLC35C2-,SMPD1-,SNAPIN-,SNHG12+,SNORA73A+,SNRNP40-,SOX12+,SPRED3-,SRRM2+,SUMF1-,SUMF2-,SWI5-,TAB1-,TBC1D10A-,TFPT-,TIMELESS+,TMEM258-,TMPRSS5+,TNFSF13-,TPP1-,TRAPPc9-,TRIM47+,TRIM8+,TRPM4-,TRRAP+,TSHZ1+,TSR2-,UBE2l+,URB1+,USP4-,VKORC1-,VRK3-,WNT4+,XYLT2-,ZBED6++,ZBTB7C+,ZDHHC11+,ZDHHC4--,ZMZ1+,ZNF16-,ZNF219+,ZNF358+,ZNF445+,ZNF496-,ZNF500+,ZNF511+,ZNF589+,ZNF750+,ZNF768+,ZNF853+,ZNHIT1-,ZSCAN25-
turquoise	BP	GO:0016569	covalent chromatin modification	103	419	3.71E-05	0.030	AUTS2-,BRD1+,BRD4+,BRPF3+,CREBBP+,FLCN+,HDAC4++,HR-,JADE2+,JAK2+,JDP2+,KDM4B+,KDM6B+,MECP2+,MT3-,PER1+,PRKCD--,RUVBL1-,SKI+,TRRAP+,ZNHIT1-
turquoise	MF	GO:0003682	chromatin binding	109	450	4.08E-05	0.030	ATF5-,AUTS2-,BRD2+,BRD4+,CIC+,CREBBP+,CSNK2B-,GLI1+,HDAC4++,HES5-,HR-,JAK2+,JDP2+,KDM6B+,PER1+,PHF13+,RERE+,TSHZ1+,ZNF750+,ZNHIT1-